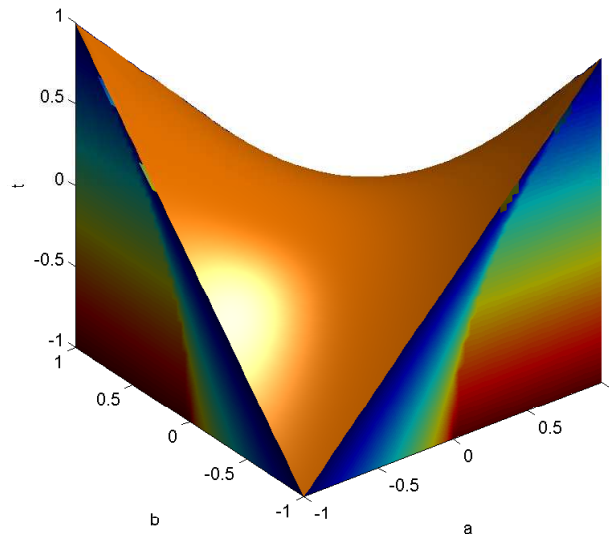


**Analyse et synthèse robustes
des systèmes linéaires**

Cours 5

Synthèses LQG et LQG/LTR

Synthèse optimale standard \mathcal{H}_2



Soit le modèle d'état :

$$\dot{x}(t) = Ax(t) + Bu(t) + \Gamma w_d, \quad x(0)$$

$$y(t) = Cx(t) + v$$

$$z(t) = Nx(t)$$

➤ Problème 1 : LQG

Déterminer la commande $u(t)$ minimisant le critère de performance :

$$J = E \left[\int_0^{\infty} (z'Qz + u'Ru) dt \right]$$

➔ Hypothèses 1 :

- (A, B) est stabilisable, (A, C) est détectable, $R = R' > 0$, $Q = Q' \geq 0$
- w_d b.b.g.s. $\sim \mathcal{N}(0, W)$, v b.b.g.s. $\sim \mathcal{N}(0, V)$, $x(0)$ V.A.g. $\sim \mathcal{N}(x_0, P_0)$

Principe de séparation :

La solution du problème LQG est la commande optimale $u(t) = K_r \hat{x}(t)$ où :

1- \hat{x} est l'estimé minimisant $E [(x - \hat{x})' S (x - \hat{x})]$ et issu du **Filtre de Kalman** :

$$\dot{\hat{x}} = A\hat{x} + Bu + K_f(y - C\hat{x}), \quad x_0$$

où $K_f = XC'V^{-1}$ avec $X = X' \geq 0$ solution de :

$$AX + XA' - XC'V^{-1}CX + \Gamma W \Gamma' = 0$$

2- K_r est le gain solution du problème LQ associé $K_r = R^{-1}B'P$ avec $P = P' \geq 0$ solution de :

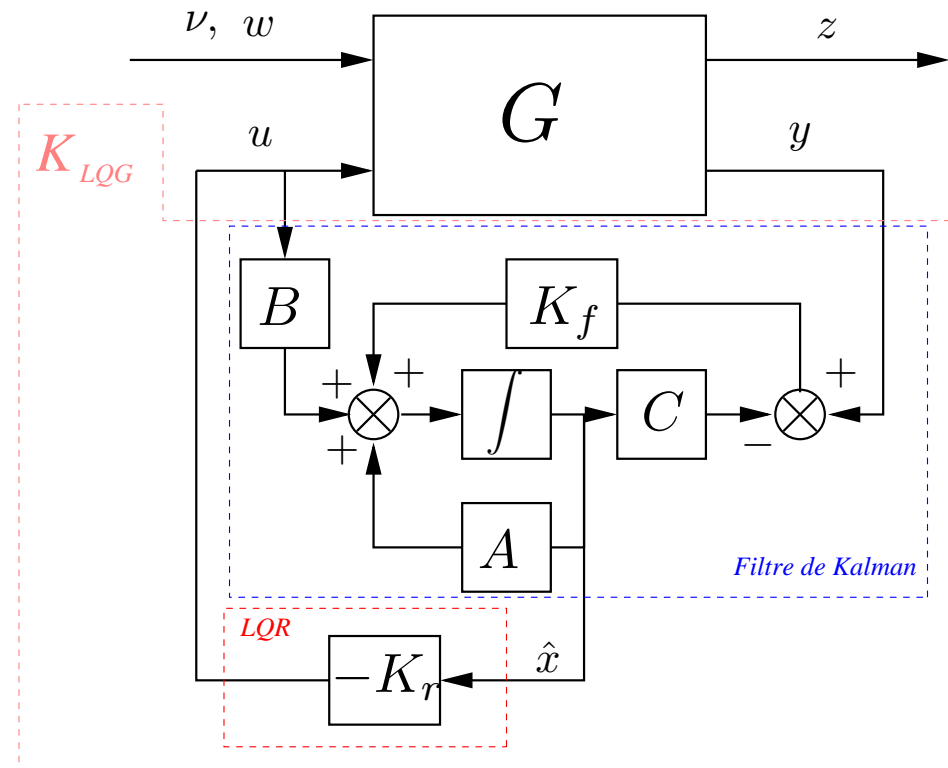
$$A'P + PA' - PBR^{-1}B'P + N'QN = 0$$

Le coût optimal est donné par :

$$J_{LQG}^* = \text{trace}(XK_fVK_f') + \text{trace}(PN'QN)$$

$$\dot{x}_K = (A - BK_r - K_f C)x_K + K_f y$$

$$u = -K_r x_K$$



$$K_{LQG} \sim \left[\begin{array}{c|c} A - BR^{-1}B'P - XC'V^{-1}C & XC'V^{-1} \\ \hline -R^{-1}B'P & \mathbf{0} \end{array} \right]$$

Nota Bene : les propriétés de robustesse du régulateur LQ ne sont plus vérifiées !

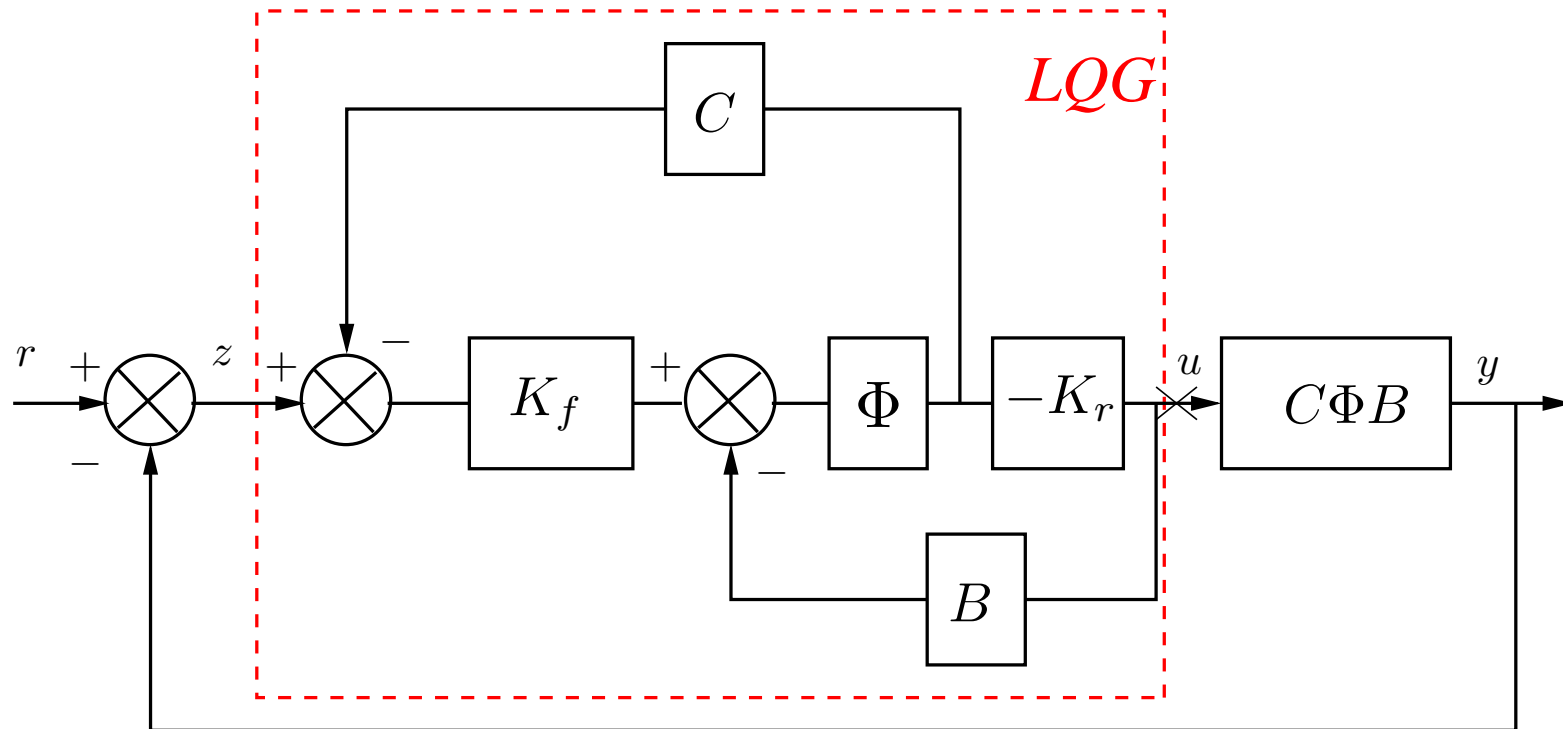


FIGURE 1 - $K_{LQG} = K_r(s\mathbf{1} - A - BK_r + K_fC)^{-1}K_f$

Modèle d'état :

$$\dot{x} = \begin{bmatrix} 0 & 1 \\ 0 & 0 \end{bmatrix} x + \begin{bmatrix} 0 \\ 1 \end{bmatrix} u + \begin{bmatrix} 0 \\ 1 \end{bmatrix} w_d, \quad w_d \sim \mathcal{N}(0, \alpha^2)$$

$$z = \begin{bmatrix} 1 & -1 \end{bmatrix} x(t) + v, \quad v \sim \mathcal{N}(0, 1)$$

Régulateur LQG minimisant :

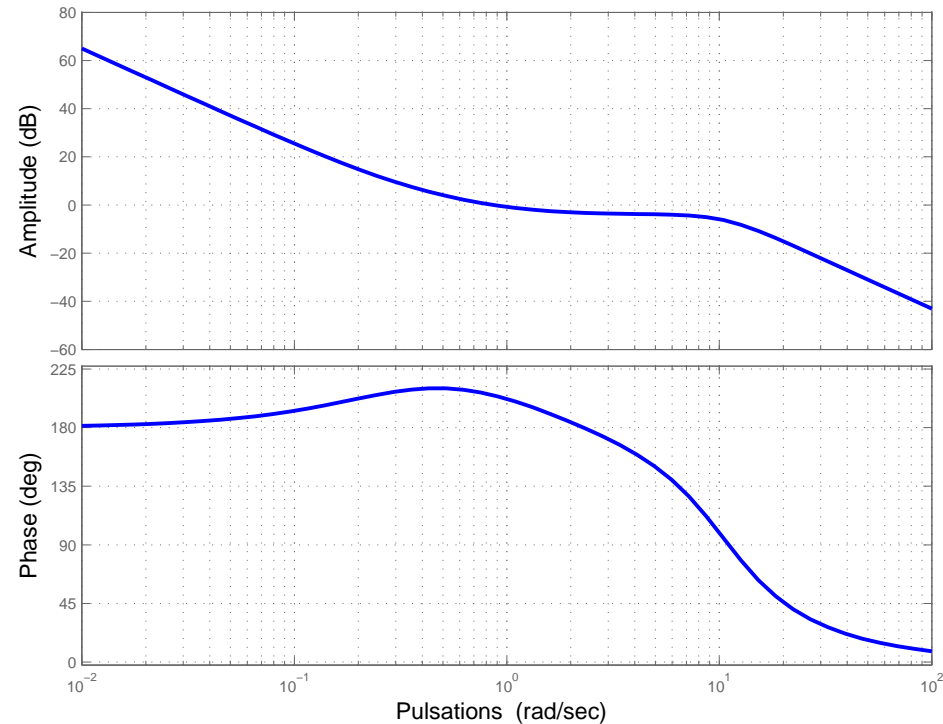
$$J = E \left[\int_0^\infty [z^2 + \rho u^2] dt \right], \quad \rho = 0.25$$

- Régulateur LQ et filtre de Kalman pour $\alpha = 10$

$$K_r = \begin{bmatrix} \frac{1}{\sqrt{\rho}} & \frac{\sqrt{1+2\sqrt{\rho}}}{\sqrt{\rho}} \end{bmatrix} = \begin{bmatrix} 2 & 2.8 \end{bmatrix}$$

$$K_f = \begin{bmatrix} 2\alpha + 1 \\ \alpha \end{bmatrix} = \begin{bmatrix} 21 \\ 10 \end{bmatrix}$$

Fonction de transfert de la boucle ouverte $K_{LQG}G(s)$



$$K_{LQG} = \frac{(\beta k_1 + \alpha k_2)s + k_1 \alpha}{s^2 + s(\beta + k_2 - \alpha) + \beta(k_1 + k_2) + k_1 + \alpha} = \frac{70s + 20}{s^2 + 13.8s + 112.8}$$

Soit

$$\dot{x}(t) = \begin{bmatrix} 1 & 1 \\ 0 & 1 \end{bmatrix} x(t) + \begin{bmatrix} 0 \\ 1 \end{bmatrix} u(t) + \begin{bmatrix} 1 \\ 1 \end{bmatrix} w_d, \quad x_0$$

$$y(t) = \begin{bmatrix} 1 & 0 \end{bmatrix} x(t) + v(t) \quad z(t) = \begin{bmatrix} 1 & 1 \end{bmatrix} x(t)$$

où

$$Q = \rho > 0 \quad R = 1 \quad W = \sigma > 0 \quad V = 1$$

La solution LQG est donnée par

- LQR

$$K_r = \alpha \begin{bmatrix} 1 & 1 \end{bmatrix} \quad \alpha = 2 + \sqrt{4 + \rho}$$

- Filtre de Kalman

$$K_f = \beta \begin{bmatrix} 1 & 1 \end{bmatrix}' \quad \beta = 2 + \sqrt{4 + \sigma}$$

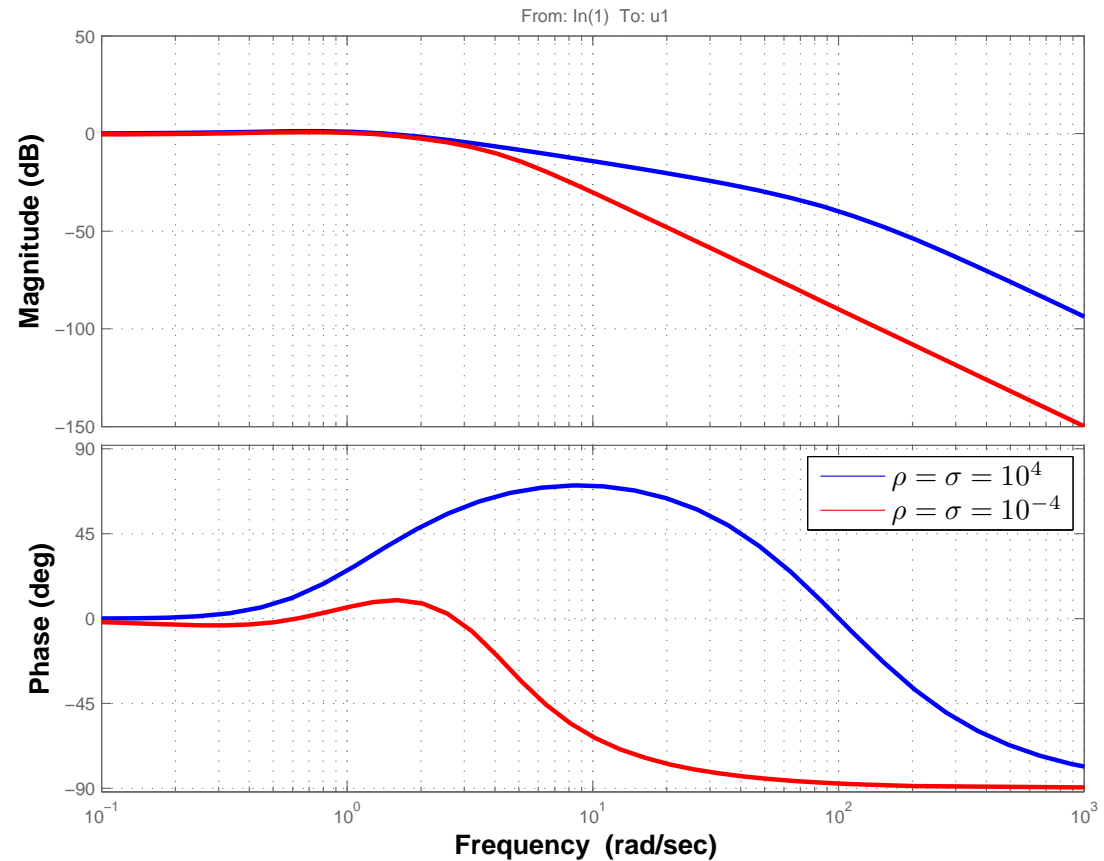
Correcteur LQG et tracé de la BO dans Bode

$$\rho = \sigma = 10^4, \quad \alpha = \beta = 102$$

$$K_{LQG} = \frac{20816(s - 0.5)}{s^2 + 202s + 10401}$$

$$\rho = \sigma = 10^{-4}, \quad \alpha = \beta = 4$$

$$K_{LQG} = \frac{32(s - 0.5)}{s^2 + 6s + 17}$$



$$K_{LQG} = \frac{\alpha\beta(2s - 1)}{s^2 + (\alpha + \beta - 2)s + 1 + \alpha\beta}$$

- Correcteur LQG perturbé

$$\tilde{K}_{LQG} = pK_{LQG} \sim \left[\begin{array}{cc|c} 1 - \beta & 1 & \beta \\ -(\alpha + \beta) & 1 - \alpha & \beta \\ \hline -p\alpha & -p\alpha & 0 \end{array} \right]$$

- Dynamique en BF

$$\dot{x}(t) = \begin{bmatrix} A & -pBK_r \\ K_f C & A - BK_r - K_f C \end{bmatrix} x(t) = \begin{bmatrix} 1 & 1 & 0 & 0 \\ 0 & 1 & -p\alpha & -p\alpha \\ \beta & 0 & 1 - \beta & 1 \\ \beta & 0 & -\alpha - \beta & 1 - \alpha \end{bmatrix} x(t)$$

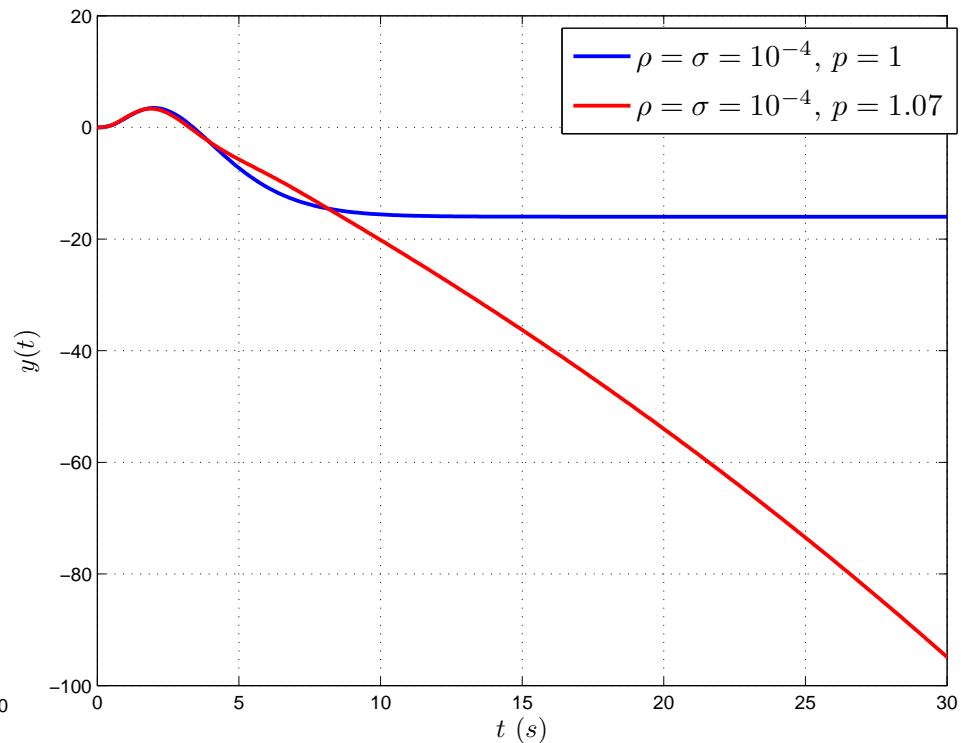
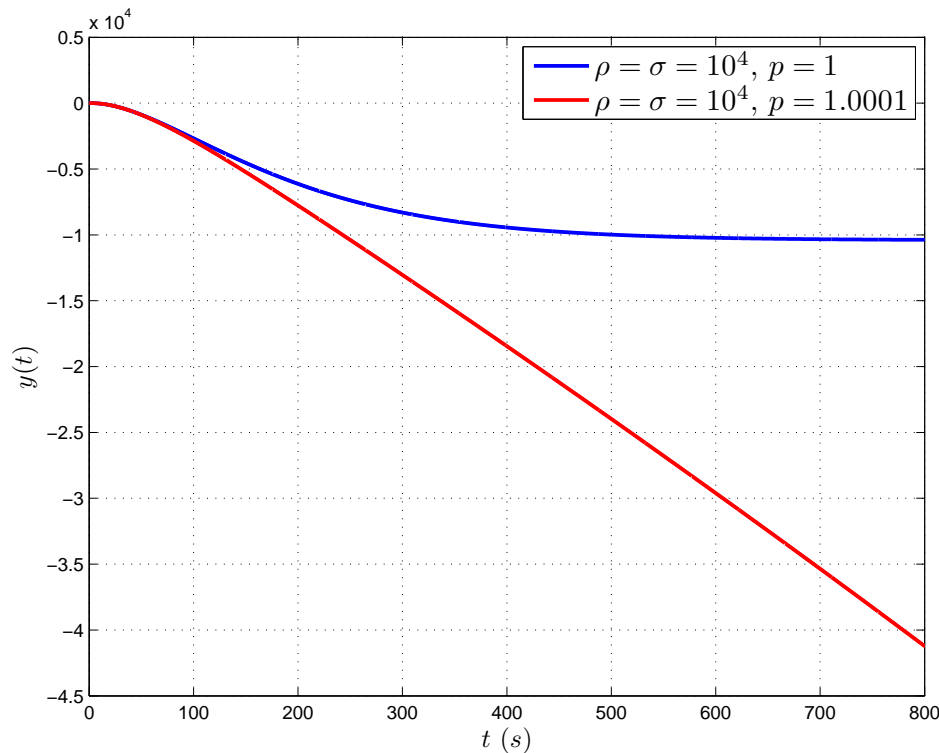
- Polynôme caractéristique en BF

$$\lambda^4 + (\beta + \alpha - 4)\lambda^3 + (6 - 2\alpha - 2\beta + \beta\alpha)\lambda^2 + (-4 + \beta + \alpha + 2(p - 1)\alpha\beta)\lambda + 1 + (1 - p)\alpha\beta$$

- Conditions nécessaires de stabilité

$$1 + \frac{1}{\alpha\beta} > p > 1 + \frac{4 - \alpha - \beta}{2\alpha\beta}$$

$$\tilde{K}_{LQG} = \frac{\alpha\beta p(2s-1)}{s^2 + (\alpha + \beta - 2)s + 1 + \alpha\beta} \quad \tilde{L}_{bo}(s, p) = \frac{1}{(s-1)^2} \tilde{K}_{LQG}(s, p)$$



$$\alpha = \beta = 100, \quad 0.9902 < p < 1.0001$$

$$\alpha = \beta = 4, \quad 0.875 < p < 1.06525$$

Soit le modèle d'état :

$$\dot{x}(t) = Ax(t) + Bu(t) + \Gamma w_d, \quad x(0)$$

$$y(t) = Cx(t) + v$$

$$z(t) = Nx(t)$$

➡ **Problème 2 : LQG/LTR**

Déterminer la commande $u(t)$ minimisant le critère de performance :

$$J = E \left[\int_0^\infty (z'Qz + u'Ru) dt \right]$$

et recouvrant les propriétés de robustesse de la boucle ouverte du **LQ** :

$$K_{LQG}G \rightarrow K_r(s\mathbf{1} - A)^{-1}B$$

➡ **Hypothèses 2 :**

- (A, B) est stabilisable, (A, C) est détectable, $R = R' > 0$, $Q = Q' \geq 0$
- w_d b.b.g.s. $\sim \mathcal{N}(0, W)$, v b.b.g.s. $\sim \mathcal{N}(0, V)$, $x(0)$ V.A.g. $\sim \mathcal{N}(x_0, P_0)$

- **But :**

Retrouver les propriétés de robustesse de la boucle ouverte du LQ :

$$K_{LQG}G \rightarrow K_r(s\mathbf{1} - A)^{-1}B$$

- **Méthode :**

Calcul d'un observateur particulier

On choisit

$$E[w_d w_d'] = W = W_0 + q^2 B B' \quad E[v v'] = V_0$$

□ **Théorème 1** : *Loop Transfer Recovery*

Si $r = \dim(y) \geq m = \dim(u)$ et $C(s\mathbf{1} - A)^{-1}B$ n'a pas de zéros instables alors quand $q \rightarrow \infty$:

- $K_f \rightarrow q B M (V_0^{1/2})^{-1}$ où $M \in \mathbb{R}^{m \times r} : M' M = \mathbf{1}_m$
- $K_{LQG}G \rightarrow K_r \Phi B$

 **Procédure 1 :**

- *Synthétiser un correcteur LQ par loopshaping de $K_r\Phi(s)B$
Basses fréquences, roll-off aux hautes fréquences et pulsations de coupure*
- *A partir de W_0 , V_0 , on augmente le paramètre de réglage q :*

$$W = W_0 + q^2 BB' \quad V = V_0$$

jusqu'à obtenir un recouvrement du transfert $K_{LQG}G$ sur $K_r\Phi(s)B$ sur une bande de fréquences suffisamment grande

Nota :

- L'augmentation de q dégrade le filtrage du bruit de mesure : **compromis entre performance nominale LQG et robustesse**
- $K(s)$ tend à inverser la matrice de transfert du système
- Pour un système à **non minimum de phase**, le recouvrement exacte ne peut être obtenu : procédures de **recouvrement approché** (limitation sur la bande passante)

Une procédure duale peut être appliquée pour le recouvrement :

- Calcul du filtre de Kalman (observateur)
- Recouvrement en sortie par réglage du régulateur LQ

$$Q = Q_0 + qC'C \quad R = R_0$$

□ **Théorème 2** : *dual loop transfer recovery*

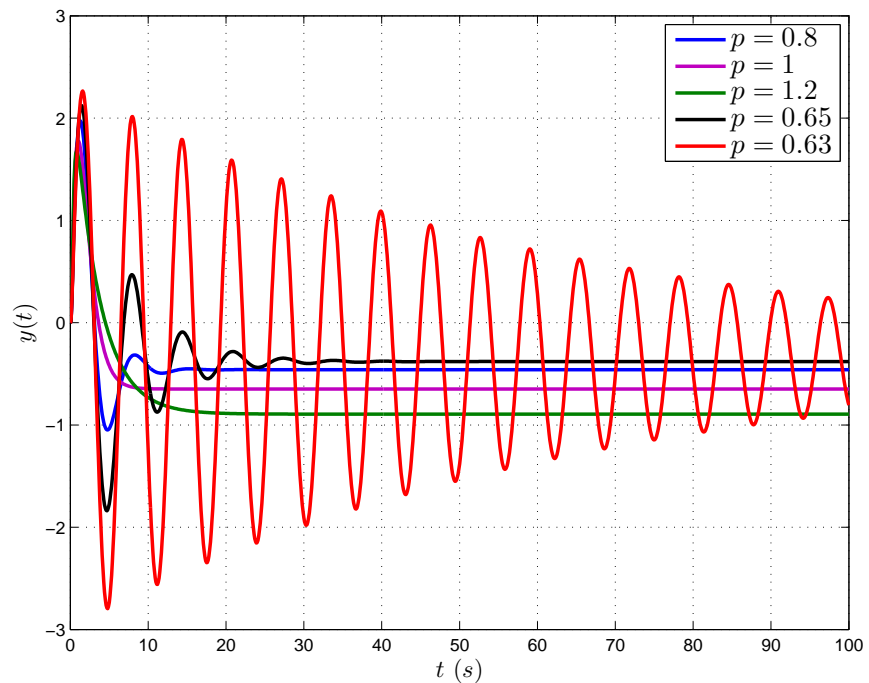
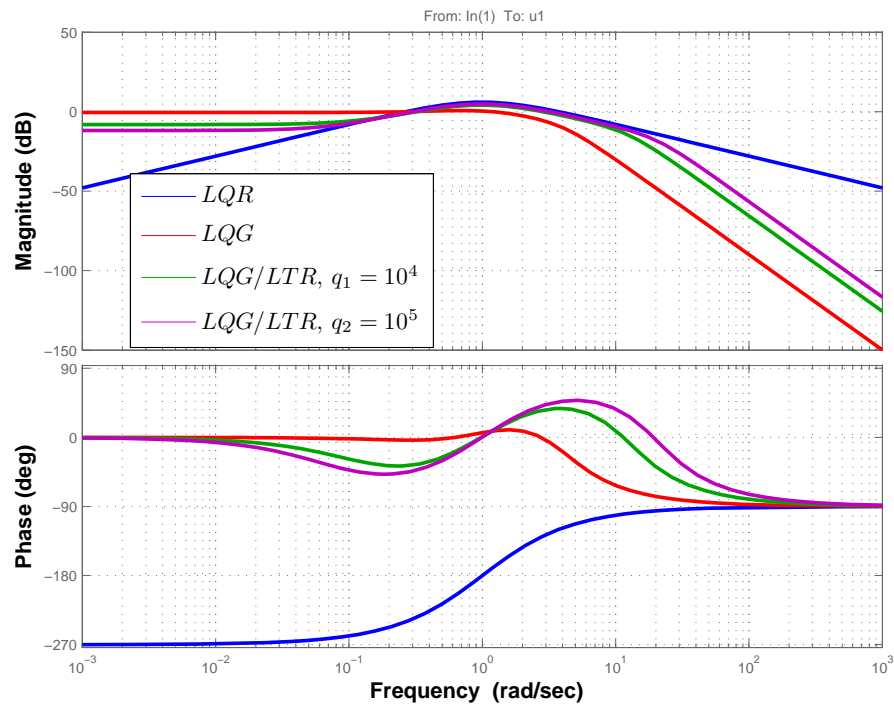
Si $\dim(u) \geq \dim(y)$ *et* $C(s\mathbf{1} - A)^{-1}B$ *n'a pas de zéros instables* **alors** *quand* $q \rightarrow \infty$:

- $K_r \rightarrow q(R_0^{1/2})^{-1}TC$ où $T \in \mathbb{R}^{m \times r}$: $T'T = \mathbf{1}_r$
- $GK_{LQG} \rightarrow C\Phi K_f$

Nota : quand $q \rightarrow \infty$, l'amplitude des commandes augmente

$$r = m = 1 \text{ et } C(s\mathbf{1} - A)^{-1}B = \frac{1}{(s-1)^2}. \text{ Soit } W = \sigma\mathbf{1}_2 + q^2 \begin{bmatrix} 0 \\ 1 \end{bmatrix} \begin{bmatrix} 0 & 1 \end{bmatrix}$$

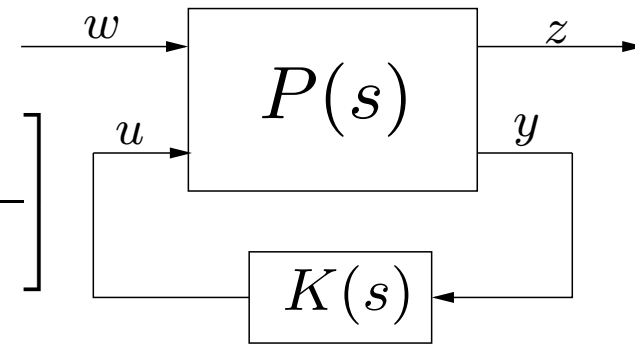
$$K_f \rightarrow B \quad \tilde{K}_{LQG}G \rightarrow \frac{p\alpha s}{(s-1)^2}$$



Modèle généralisé :

$$P(s) \sim \left[\begin{array}{cc|c} A & B_1 & B_2 \\ C_1 & D_{11} & D_{12} \\ \hline C_2 & D_{21} & D_{22} \end{array} \right]$$

$$K(s) \sim \left[\begin{array}{c|c} A_K & B_K \\ \hline C_K & D_K \end{array} \right]$$



↳ **Hypothèses 3 :**

1- (A, B_1) et (A, B_2) stabilisables, (C_1, A) et (C_2, A) détectables

2- $D'_{12} [C_1 \ D_{12}] = [\mathbf{0} \ \mathbf{1}]$ et $[B'_1 \ D'_{21}]' D'_{21} = [\mathbf{0} \ \mathbf{1}]'$

3- P, K sont rationnelles, réelles et propres

4- $\begin{bmatrix} A - j\omega \mathbf{1} & B_1 \\ C_2 & D_{21} \end{bmatrix}$ et $\begin{bmatrix} A - j\omega \mathbf{1} & B_2 \\ C_1 & D_{12} \end{bmatrix}$ sont de rang plein $\forall \omega$

Nota : \mathcal{K} est l'ensemble des **correcteurs admissibles** :

$$\mathcal{K} = \{K \in \mathbb{C}^{m \times r} \mid T_{zw}(s) \in \mathcal{RH}_\infty\}$$

$$D_{11} + D_{12}(\mathbf{1} - D_K D_{22})^{-1} D_K D_{21} = \mathbf{0}$$

➔ **Problème 3** : Synthèse optimale et sous-optimale \mathcal{H}_2

1- Déterminer le correcteur K minimisant une norme \mathcal{H}_2 du transfert entre les sorties exogènes z et les entrées exogènes w :

$$\min_{K \in \mathcal{K}} \|T_{zw}\|_2$$

2- Déterminer $\gamma_2^* = \arg \left[\min_{K \in \mathcal{K}} \|T_{zw}\|_2 \right]$

3- $\gamma_2 > 0$ et P étant donnés, déterminer un correcteur K^{sub} tel que $\|T_{zw}\|_2 \leq \gamma_2$

Définissant les deux équations de Riccati algébriques duales :

$$A'X_2 + X_2A - X_2B_2B_2'X_2 + C_1'C_1 = 0 \quad AY_2 + Y_2A' - Y_2C_2'C_2Y_2 + B_1B_1' = 0$$

$$F_2 = -B_2'X_2$$

$$L_2 = -Y_2C_2'$$

$$A_{F_2} = A + B_2F_2$$

$$A_{L_2} = A + L_2C_2$$

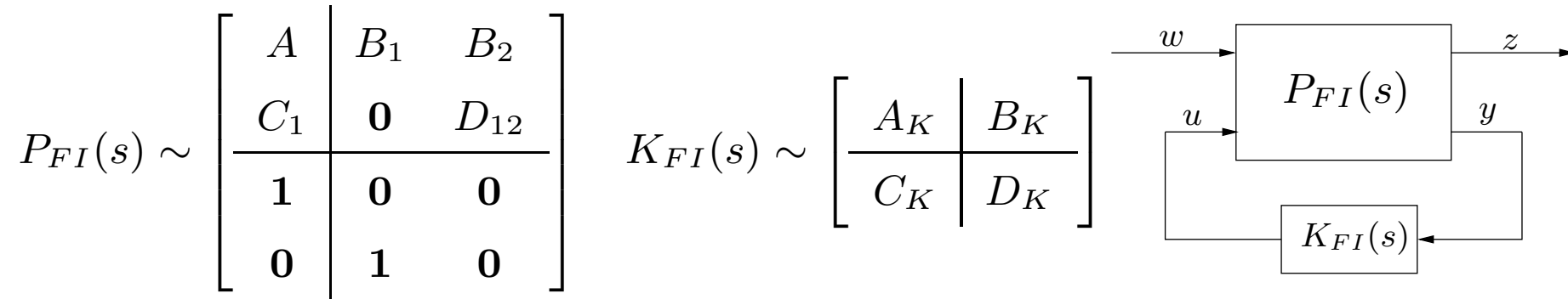
$$C_{1F_2} = C_1 + D_{12}F_2$$

$$B_{1L_2} = B_1 + L_2D_{21}$$

$$G_c(s) \sim \left[\begin{array}{c|c} A_{F_2} & \mathbf{1} \\ \hline C_{1F_2} & \mathbf{0} \end{array} \right]$$

$$G_f(s) \sim \left[\begin{array}{c|c} A_{L_2} & B_{1L_2} \\ \hline \mathbf{1} & \mathbf{0} \end{array} \right]$$

$$\hat{A}_2 = A + B_2F_2 + L_2C_2$$



□ **Théorème 3 : Information complète**

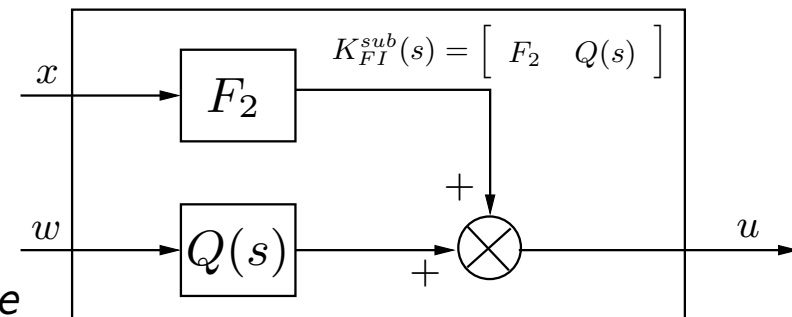
1- L'unique correcteur \mathcal{H}_2 optimal est donné par :

$$K_{FI_2}^*(s) \sim \left[\begin{array}{c|cc} \mathbf{0} & \mathbf{0} & \mathbf{0} \\ \hline \mathbf{0} & F_2 & \mathbf{0} \end{array} \right]$$

2- $\gamma_{FI_2}^{*2} = \|G_c B_1\|_2^2 = \text{trace}[B_1' X_2 B_1]$

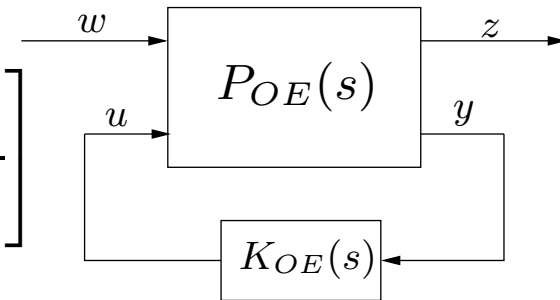
3- $u = F_2 x + Q(s)w$ et $Q(s) \in \mathcal{RH}_2^{m_2 \times p_2}$ telle que

$$\|Q\|_2^2 < \gamma_{FI_2}^2 - \|G_c B_1\|_2^2$$



$$P_{OE}(s) \sim \left[\begin{array}{c|cc} A & B_1 & B_2 \\ \hline C_1 & \mathbf{0} & \mathbf{1} \\ \hline C_2 & D_{21} & \mathbf{0} \end{array} \right]$$

$$K_{OE}(s) \sim \left[\begin{array}{c|c} A_K & B_K \\ \hline C_K & D_K \end{array} \right]$$



□ Théorème 4 : Estimation de sortie

1- L'unique correcteur \mathcal{H}_2 optimal est donné par :

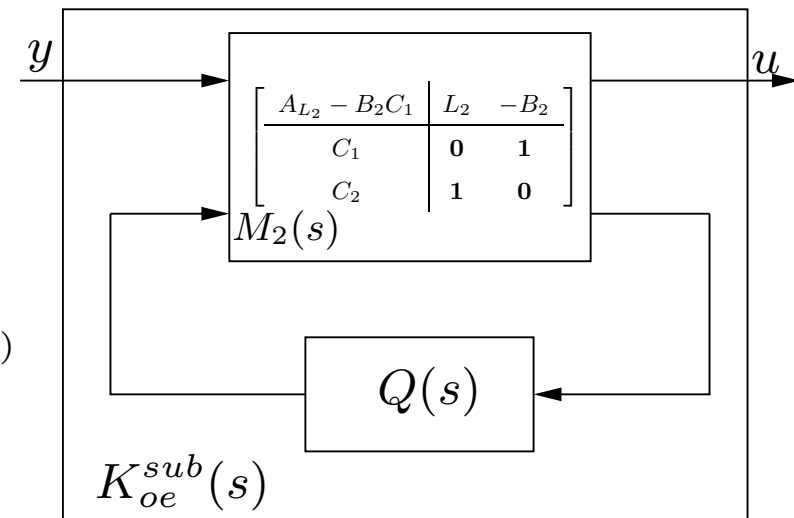
$$K_{OE_2}^*(s) \sim \left[\begin{array}{c|c} A_{L_2} - B_2 C_1 & L_2 \\ \hline C_1 & \mathbf{0} \end{array} \right]$$

2- $\gamma_{OE_2}^{*2} = \|C_1 G_f\|_2^2$

3- $u = \mathcal{L}_l(M_2, Q)y$ et $Q \in \mathcal{RH}_2^{(r_2+m_2) \times (r_1+r_2)}$

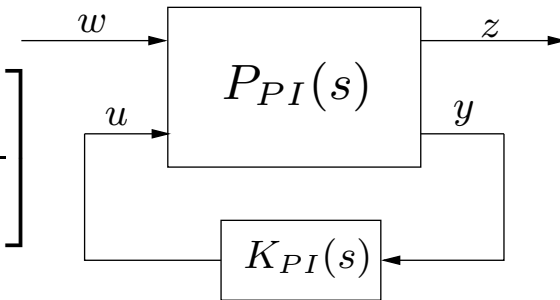
telle que

$$\|Q\|_2^2 < \gamma_{OE_2}^2 - \|C_1 G_f\|_2^2$$



$$P_{PI}(s) \sim \left[\begin{array}{c|cc} A & B_1 & B_2 \\ \hline C_1 & \mathbf{0} & D_{12} \\ \hline C_2 & D_{21} & \mathbf{0} \end{array} \right]$$

$$K_{PI}(s) \sim \left[\begin{array}{c|c} A_K & B_K \\ \hline C_K & D_K \end{array} \right]$$



□ Théorème 5 : Information partielle

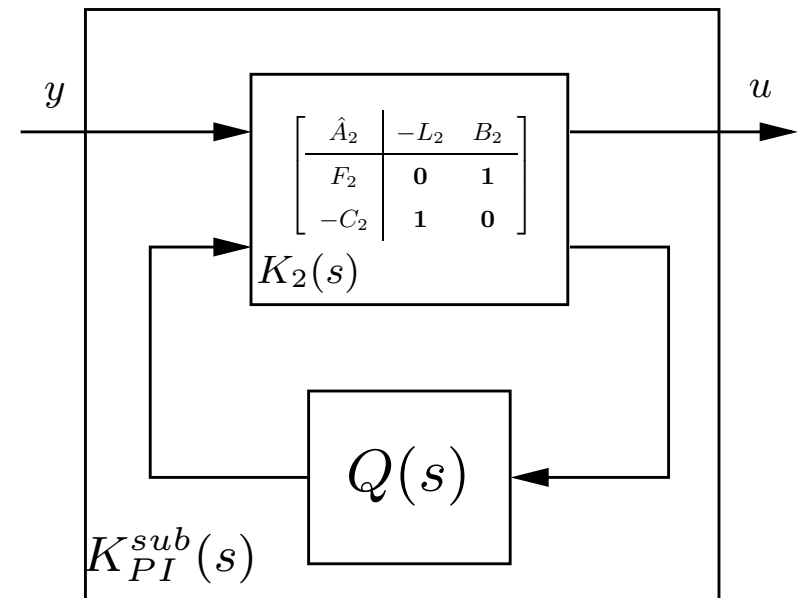
1- L'unique compensateur \mathcal{H}_2 optimal est donné par :

$$K_{PI}^*(s) \sim \left[\begin{array}{c|c} \hat{A}_2 & -L_2 \\ \hline F_2 & \mathbf{0} \end{array} \right]$$

$$\begin{aligned} 2- \gamma_{PI_2}^{*2} &= \gamma_{FI_2}^2 + \gamma_{OE_2}^2 = \|G_c B_1\|_2^2 + \|F_2 G_f\|_2^2 \\ &= \|G_c L_2\|_2^2 + \|C_1 G_f\|_2^2 \end{aligned}$$

3- $u = \mathcal{L}_l(Q, K_2)y$ et $Q \in \mathcal{RH}_2^{m_2 \times p_2}$ telle que

$$\|Q\|_2^2 < \gamma^2 - (\|G_c B_1\|_2^2 + \|F_2 G_f\|_2^2)$$



Principe de séparation :

Résolution d'un problème FI et d'un problème OE pour $C_1 = -F_2$

$$\dot{x} = Ax + B_1w + B_2u$$

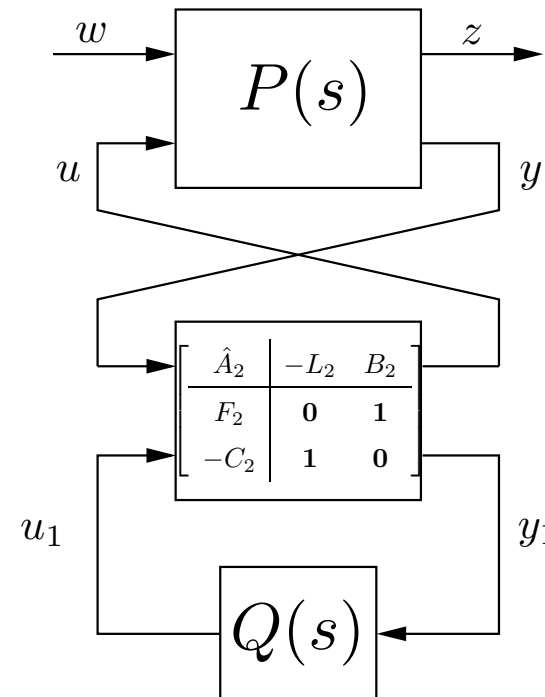
$$z = C_1x + D_{12}u$$

$$y = C_2x + D_{21}w$$

$$\dot{\hat{x}} = A_{L_2}\hat{x} - L_2y - B_2C_1\hat{x} + B_2u_1$$

$$u = F_2\hat{x} + u_1$$

$$y_1 = -C_2\hat{x} + y$$



✎ **Remarques 1 :**

1- *Dynamiques en boucle fermée :*

$$\text{OE } \Lambda_{BF} = \Lambda(A + L_2 C_2) \cup \Lambda(A - B_2 C_2) \cup \Lambda(A_K)$$

$$\text{PI } \Lambda_{BF} = \Lambda(A + B_2 F_2) \cup \Lambda(A + L_2 C_2) \cup \Lambda(A_K) \quad \text{FI } \Lambda_{BF} = \Lambda(A + B_2 F_2) \cup \Lambda(A_K)$$

2- *Le compensateur optimal \mathcal{H}_2 n'a pas de marges de stabilité garanties*

Nota : Régulateur \mathcal{H}_2 et LQG :

Le régulateur LQG est un compensateur \mathcal{H}_2 particulier où :

$$z(t) = \begin{bmatrix} Q^{1/2} & \mathbf{0} \\ \mathbf{0} & R^{1/2} \end{bmatrix} \begin{bmatrix} x \\ u \end{bmatrix} \quad \text{et} \quad \begin{bmatrix} w_d \\ v \end{bmatrix} = \begin{bmatrix} W^{1/2} & \mathbf{0} \\ \mathbf{0} & V^{1/2} \end{bmatrix} w, \quad w \sim \mathcal{N}(0, \mathbf{1})$$

Le modèle généralisé est donné par :

$$G \sim \left[\begin{array}{c|cc|c} A & W^{1/2} & \mathbf{0} & B \\ \hline Q^{1/2} & \mathbf{0} & \mathbf{0} & \mathbf{0} \\ \mathbf{0} & \mathbf{0} & \mathbf{0} & R^{1/2} \\ \hline C & \mathbf{0} & V^{1/2} & \mathbf{0} \end{array} \right]$$

Réalisation minimale d'état du modèle généralisé :

$$A = \begin{bmatrix} 1 & 1 \\ 0 & -1 \end{bmatrix} \quad B_1 = \begin{bmatrix} 1 & 0 \\ 0 & 0 \end{bmatrix} \quad B_2 = \begin{bmatrix} 0 \\ 3 \end{bmatrix} \quad C_1 = \begin{bmatrix} 0 & 0 \end{bmatrix} \quad D_{22} = 0$$

$$D_{11} = \begin{bmatrix} 0 & 0 \end{bmatrix} \quad D_{21} = \begin{bmatrix} 0 & 1 \end{bmatrix} \quad D_{12} = 1 \quad C_2 = \begin{bmatrix} 1 & 0 \end{bmatrix}$$

Modèle généralisé :

$$P(s) = \begin{bmatrix} 0 & 0 & 1 \\ 1 & 1 & 3 \\ \frac{1}{s-1} & 1 & \frac{3}{s^2-1} \end{bmatrix}$$

```
>> A=[1 1;0 -1];B1=[1 0;0 0];B2=[0;3];C1=[0 0];C2=[1 0];D11=[0 0];D12=1;
>> D21=[0 1];D22=0;
>> P=ss(A,[B1 B2],[C1;C2],[D11 D12;D21 D22]);
```

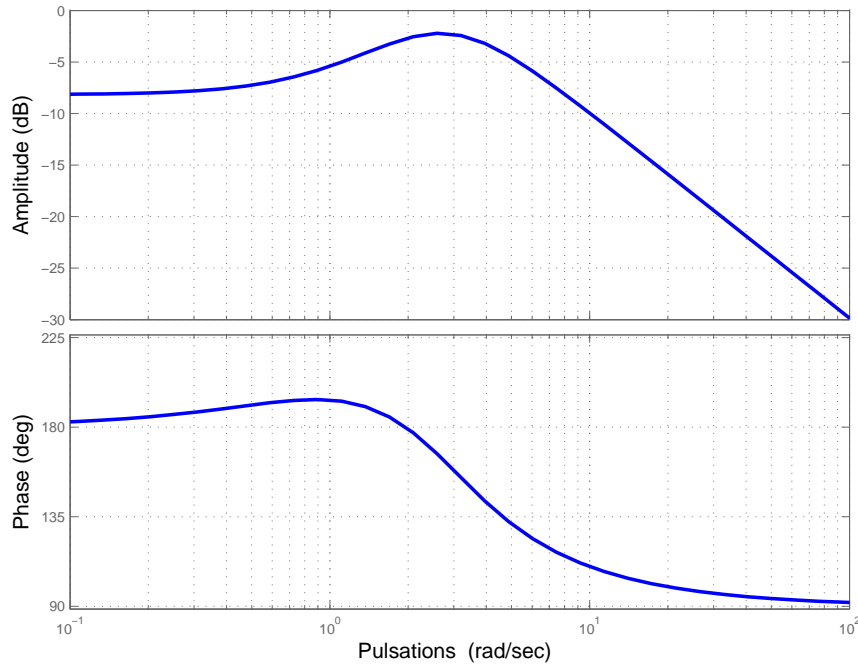

↳ **Hypothèses 4 :**

- (A, B_2) est commandable donc stabilisable et (A, C_2) observable donc détectable

$$- D'_{12} \begin{bmatrix} C_1 & D_{12} \end{bmatrix} = \begin{bmatrix} 0 & 0 & 1 \end{bmatrix} \text{ et } \begin{bmatrix} B'_1 & D'_{21} \end{bmatrix}' D'_{21} = \begin{bmatrix} 0 \\ 0 \\ 1 \end{bmatrix}$$

$$- \text{rg} \begin{bmatrix} A - j\omega \mathbf{1} & B_1 \\ -C_2 & D_{21} \end{bmatrix} = \text{rg} \begin{bmatrix} 1 - j\omega & 1 & 1 & 0 \\ 0 & -1 - j\omega & 0 & 0 \\ -1 & 0 & 0 & 1 \end{bmatrix} = \mathbf{3} \quad \forall \omega \in \mathbb{R}$$

$$\text{rg} \begin{bmatrix} A - j\omega \mathbf{1} & -B_2 \\ C_1 & D_{12} \end{bmatrix} = \text{rg} \begin{bmatrix} 1 - j\omega & 1 & 0 \\ 0 & -1 - j\omega & -3 \\ 0 & 0 & 1 \end{bmatrix} = \mathbf{3} \quad \forall \omega \in \mathbb{R}$$



$$X_2 = \begin{bmatrix} 8/9 & 2/9 \\ 2/9 & 4/9 \end{bmatrix} \quad Y_2 = \begin{bmatrix} 1 + \sqrt{2} & 0 \\ 0 & 0 \end{bmatrix}$$

$$F_2 = - \begin{bmatrix} 4/3 & 2/3 \end{bmatrix} \quad L_2 = - \begin{bmatrix} -1 - \sqrt{2} \\ 0 \end{bmatrix}$$

$$\gamma_{FI}^* = \frac{2\sqrt{2}}{3} \quad \gamma_{OE}^* = 2.0717$$

$$\gamma^* = 2.2761$$

```
>> P=ss(A,B,C,D);
>> [Kh2,N,H2,infos]=h2syn(P,1,1);
infos =
    NORMS: [0.9428 2.0717 2.2761 0]
    KFI: [-1.3333 -0.6667]
```

– Suivi de référence et réjection de perturbations :

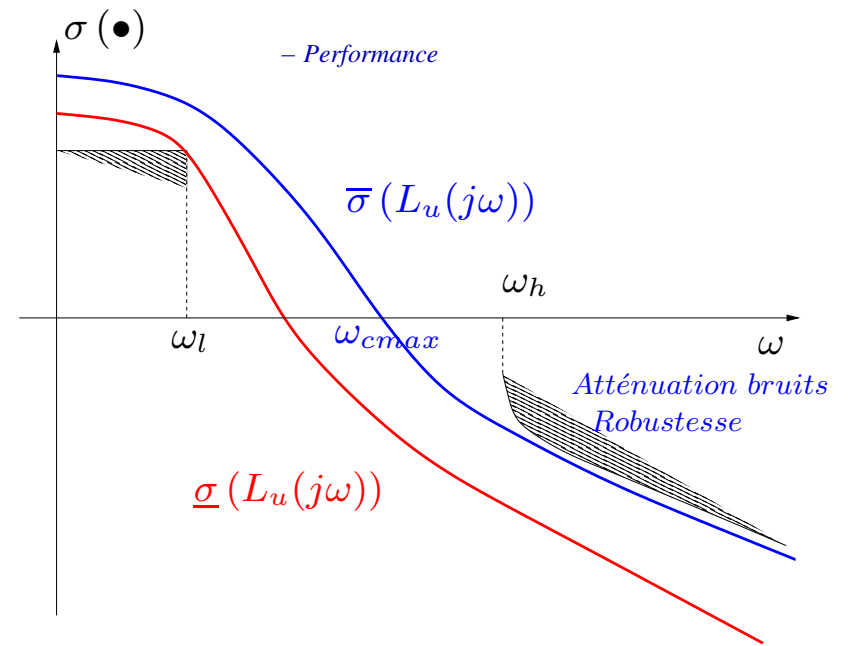
$$\underline{\sigma}(L_y) \text{ grand } 0 \leq \omega \leq \omega_B$$

– Réduction d'énergie de commande :

$$\overline{\sigma}(K) \text{ faible } 0 \leq \omega_B \leq \omega$$

– Filtrage des bruits de mesure :

$$\overline{\sigma}(L_y) \text{ faible } 0 \leq \omega_B \leq \omega$$



- W_u : restriction sur u
- W_e, W_p : spécif. sur des transferts en BF
- W_i, W_n, W_o : contenu fréq. de d et de n
- W_r : modelage de la consigne

Exemple :

$$\min_{K \in \mathcal{RH}_\infty} \left\| \begin{array}{c} W_e S_y W_o \\ \rho W_u K S_y W_o \end{array} \right\|_2$$

